

防大土木教室 正員 加藤 清志

### 1. 概要

先に気泡殻きれつの存在<sup>1)</sup>とその発生・成長機構を、セメント モルタル<sup>2) 3)</sup>やニート セメントベースト<sup>4) 5)</sup>について報告した。とくに、後者ではブレーン コンクリートの基本構成成分要素としてのベースト中の殻きれつやベースト マイクロ クラックと、その硬化後の物性との関連性を論じ、気泡殻は一般に独立気泡構成でモルタルの場合のように重複球殻の配列構造は少なく、載荷前にすでに殻きれつやベーストきれつが発生しているが、これらはいずれも乾燥収縮性きれつと考えられる。平均圧縮応力比・平均圧縮ひずみ比・きれつ殻頻度・ベーストきれつ頻度・減衰動弾性係数率等にはそれぞれ臨界値があり、たとえば臨界応力比は40%（実応力 250kg/cm<sup>2</sup>）であり、この前後できれつ殻頻度とベーストきれつ頻度とは、たがいに圧縮応力によつて与えられるひずみエネルギーを肩代わりするかのように挙動する。すなわち、塑性仕事量はクラックの伝播に重要な役割をもち、吸収エネルギーは加速度的に増大し、破面進行は不安定になり急速に停止する。ベーストきれつはトベルモライト ゲル中に潜入している粗大なクリンカ粒子の界面に発生する、いわゆる析出薄膜が劈開し、さらに母結晶としての非晶質トベルモライト ゲルの劈開が誘発されたものと考えられる。かくして、殻きれつや巨視的ベーストきれつの核となつて、試料中に大きく成長し耐力低下または破壊に至るものと考えた。本報告は、以上の諸現象を踏まえて、硬化したブレーン コンクリートの力学的挙動をマイクロ クラック発生頻度との関連において、物性工学的見地から実験・考察したものである。

### 2. 実験方法

1) 試料 セメントは比重3.13の早強ポルトランドセメント、細・粗骨材はそれぞれ比重2.60および2.64、粗粒率は26.3および6.57などの川砂、川砂利を使用した。砂利は最大寸法20mmで、中性洗剤で表面を十分洗浄した。水・セメント比は45.0%で、空気量は202%，スランプは1.7cmであつた。機械練りで10ø×20cm供試体3本作成し、材令7日でダイアモンドカッターで70×70×194mmの角柱に切断加工した。室内で試料表面を自然乾燥させ、対称2側面に実長67mmのひずみゲージをクロス形に貼付し、コーティングした。2) 加圧、ひずみ・動弾性係数・対数減衰率計測、顕微鏡観察 加圧にはアムスラー形圧縮試験機（変換能力 25T）を用い、同時にひずみを計測した。第1供試体で応力レベルを決定し、第2供試体は各応力レベルに達するごとに荷重を解放し（図-1），デジタル形動弾性係数・対数減衰率測定器でそれらの値を求めた。また、図-2に示す試料中心部の16ブロック面上の殻きれつは偏光形微分干渉顕微鏡（50X, 100X）で、モルタルきれつ・骨材きれつ・ボンドきれつは広視野形実体顕微鏡（60X）で観察・写真撮影した。第3供試体で、第2供試体の全観察完了時点での強度の変動の程度をチェックしたが、終局強度510kg/cm<sup>2</sup>で3試料とも大差なかつた。

### 3. 実験結果と考察

図-2, 図-3にそれぞれ終局強度までの累積きれつ殻分布、モルタルきれつ・ボンドきれつ・骨材きれつの分布を示す。図-4～図-7はそれぞれ平均圧縮応力比-ひずみ比-きれつ殻頻度、一見

掛けのきれつ長頻度、一動弾性係数比、一対数減衰率比等を示す。図-8、図-9はそれぞれ対数減衰率比一平均ひずみ比一動弾性係数比、きれつ殻頻度一平均ひずみ比一見掛けのきれつ長頻度を示す。見掛けのきれつ長はボンドきれつ、モルタルきれつ、骨材きれつの各の和を意味し、それらの構成百分率を図-10に示す。図-4で、原点における接線から branch する臨界点とそれに対応する臨界値を表-1に示す。図-2、図-3に示すように、加圧前にすでに殻きれつやモルタル・ボンド・骨材きれつが、ニート ベースト<sup>4) 5)</sup> やモルタル<sup>2) 3)</sup> の場合と同様に存在する。きれつ殻の発生頻度は、その臨界値までに、加圧によって生ずる全きれつ殻数の約70%をカバーし、以後発生頻度増加率は漸減する。一方、図-5の見掛けのきれつ長頻度は、その臨界点までに、加圧によって生ずるきれつ長のわずか約30%であるが、以後急増する。図-9からきれつ殻ときれつ長との発生相関現象は、増加率に関して二律背反的であり、前報<sup>2) ~ 5)</sup> と全く同様である。なお、図-10で見掛けのきれつ長のうち各応力レベルで約60%がボンドきれつであり、終局強度では70%以上にも達する。骨材きれつは応力レベルの上昇とともに増大するが、平均約3%程度である。残りはモルタルきれつで、ボンドきれつとほぼ同様の増加の形況を示す。図-6、図-11に示すように動弾性係数は終局強度まで直線的に低下する。接線静弾性係数はその臨界値から0%近くまで対数的に低下し、物性値としての特性を direct に表わしている。各応力レベルにおける動弾性係数は、図-1の各の初期接線係数に粘性の影響が加味された値<sup>6)</sup> を示していることになり、厳密には各応力レベルでの物性値ではない。粘弾性的性質としての対数減衰率を図-7、図-8、図-11に示した。動弾性係数が臨界値まで低下する範囲では、対数減衰率はあまり変化がないが、その点を越えること、すなわち、ひずみが臨界ひずみ度を越えて増大するとともに、対数減衰率は急激に増大し、接線静弾性係数の挙動とよい対応を示す。これは、上述のコンクリートの内部マイクロ クラックの増殖による構造欠陥によって、振動伝播のエネルギー減衰が著しくなることを意味する。

#### 4. むすび

殻きれつはモルタルきれつの起点ともなり、他のきれつとともに非回復性の残留ひずみの大さな要因となる。骨材きれつは僅少で、ボンドきれつやモルタルきれつが臨界応力比以上で卓越する。モルタルきれつは一種のボンドきれつであるが、その発生のタイプは ①細骨材（粗大なクリンカ粒子も含む）界面の劈開 ②気泡殻きれつによる誘発 ③粗骨材界面の劈開 ④骨材粒子間の圧裂作用 等である。対数減衰率で接線静弾性係数変化といつた粘弾性的物性変化を評価することができる。

#### 5. あとがき

本研究の資料整理等に助力をいただいた防大土木教室 近江雅夫氏、同 萩野雪男氏にお礼申し上げる。

文献 ① 加藤清志；プレーンコンクリートのひびわれ発生機構について、コンクリート・ジャーナル, Vol. 6, No. 5, 43.5 ② 同；プレーンコンクリート中の気泡殻亀裂の成長, 第23回年次講演会, 43.10 ③ 同；モルタル中の気泡のきれつと増加, コンクリート・ジャーナル, Vol. 7, No. 2, 44.2 ④ 同；プレーンコンクリート中の組織敏感性マイクロクラック, 第24回年次講演会, 44.10 ⑤ 同；硬化したニートセメントベーストの微視的きれつ発生機構について, コンクリートジャーナル, Vol. 8, No. 2, 45.2 ⑥ 狩野春一；コンクリート技術事典, pp. 152

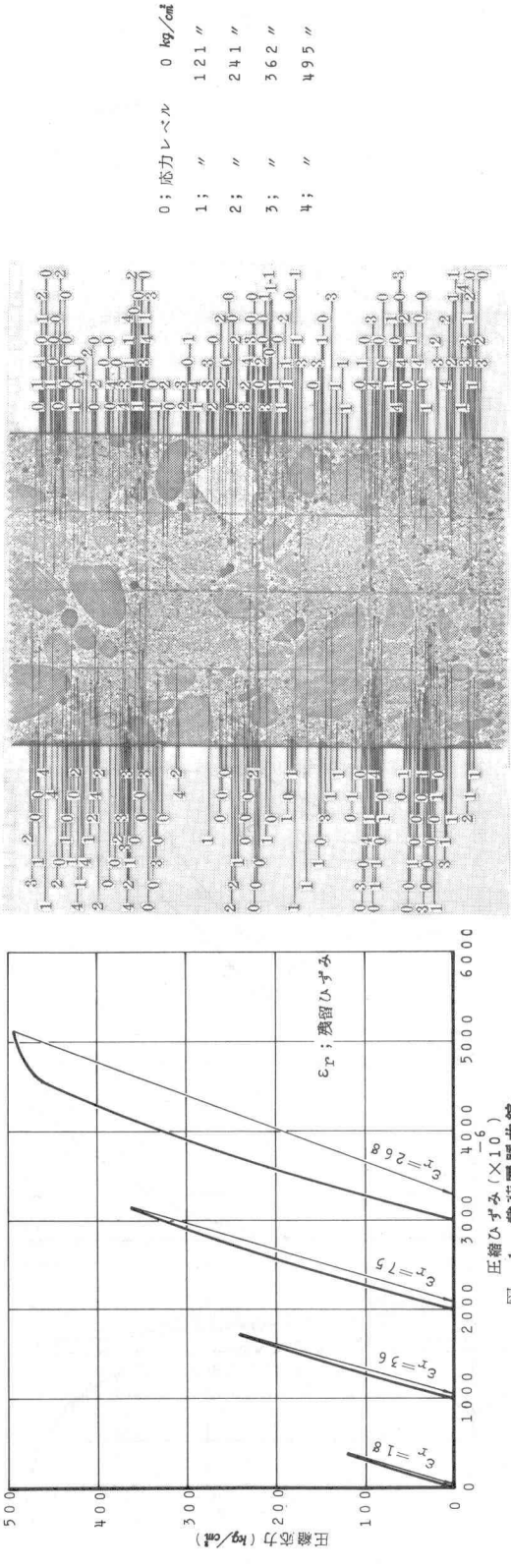


図-1 截荷履歴曲線

表-1 臨界値

	臨界値	実測値
応力比	5.2%	2.58 kg/cm²
ひずみ比	3.7%	800 $\mu$
きれつ般頻度	7.9%	3.0個/mm
見掛けのきれつ最頻度	4.4%	3.33 mm
ボンドきれつ	2.4%	1.82 mm
モルタルきれつ	1.85%	1.40 mm
骨材きれつ	1.5%	1.1 mm
動弾性係数比	8.6%	3.43 $kg/cm^2$
対数減衰率比	2.4%	0.079
接線系数比	9.6%	3.12 $kg/cm^2$

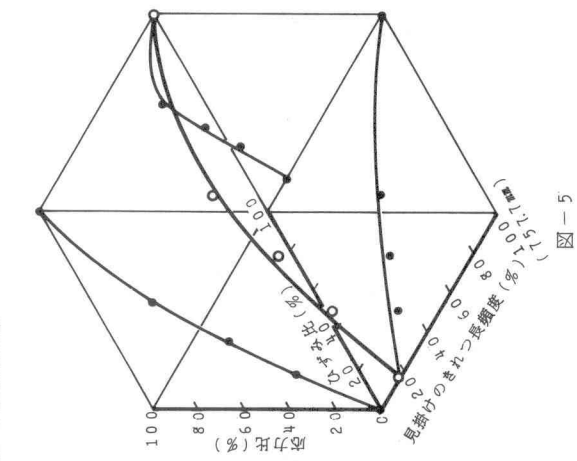


図-2 きれつ般の分布

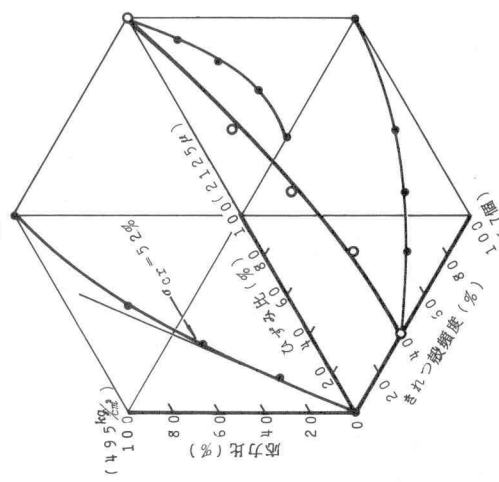


図-4

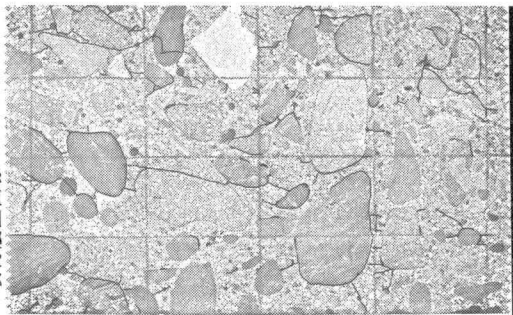


図-3 終局強度までに発生した  
Cracking map

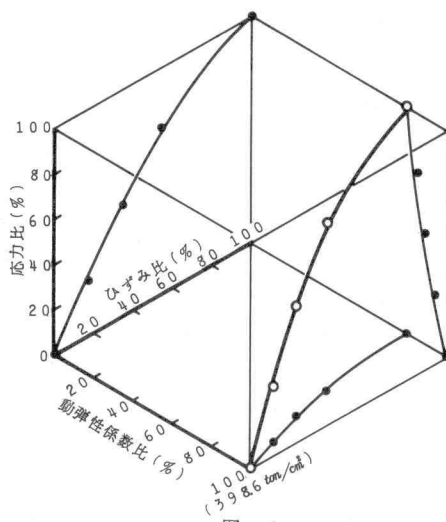


図-6

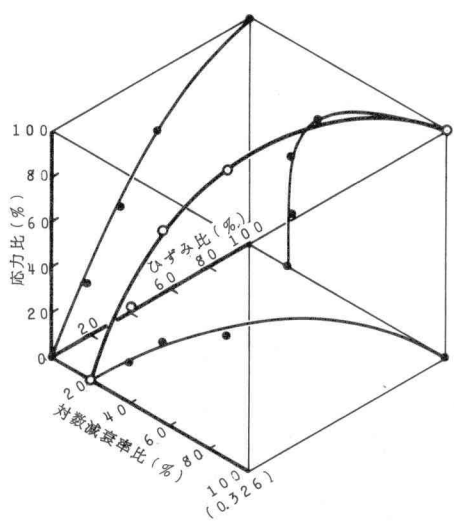


図-7

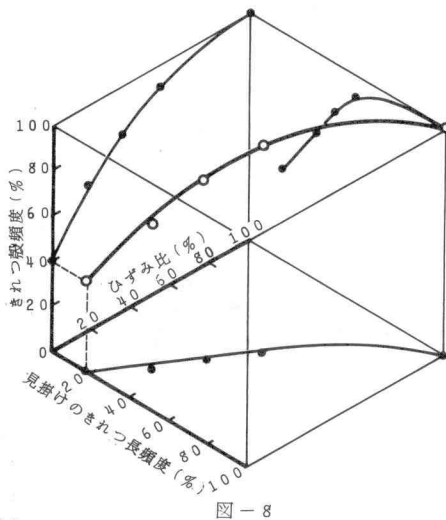


図-8

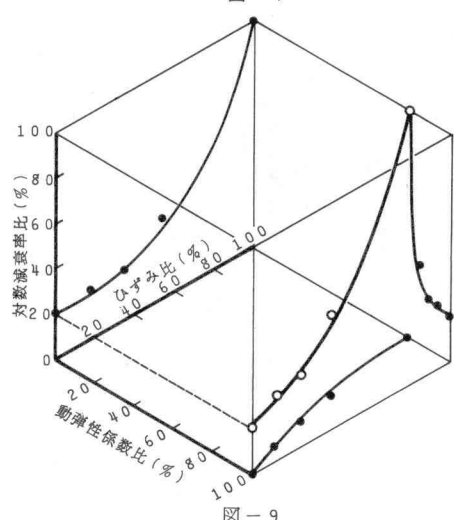


図-9

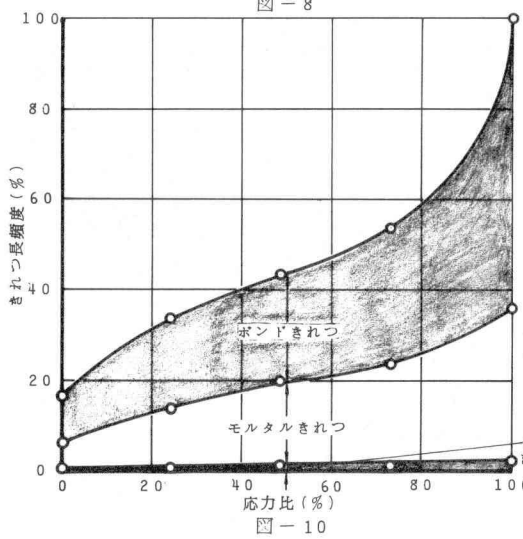


図-10

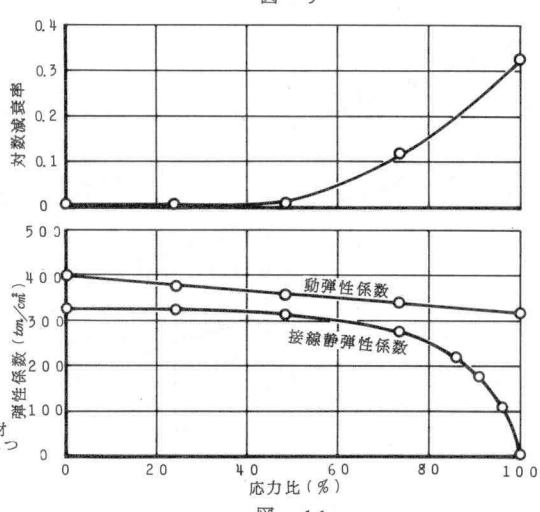


図-11